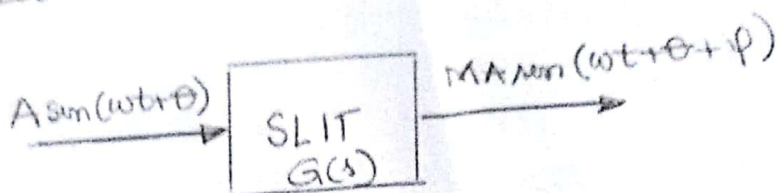


TEORIA

- 1) O diagrama de Bode é um traçado da resposta em frequência de uma função de transferência de um SLIT à uma entrada senoidal.



A onda senoidal é escolhida uma vez que, pela teoria de Fourier, sabe-se que qualquer sinal que entre no sistema pode ser representado por uma soma, geralmente infinita, de ondas periódicas com diferentes freqüências e amplitudes.

Particularmente para SLIT, uma entrada senoidal a uma determinada freqüência ω gera, como saída, uma senóide da mesma freqüência, mas diferente magnitude e fase.

Dessa forma, os diagramas de Bode são compostos por dois gráficos:

(1) Diagrama de Módulo x Freqüência

$$|G(j\omega)| \times \omega$$

(2) Diagrama de Fase x Freqüência

$$\angle G(j\omega) \times \omega$$

Em qual, $|G(j\omega)|$ é dado em decibels, a freqüência

um rali e o ângulo de faze em graus.

(2)

2)

A resposta em frequência tem sido estudada há muito tempo e, portanto, foi necessário desenvolvimento de técnicas manuais capazes de apresentar resposta em frequência rapidamente. A técnica manual mais útil foi desenvolvida por Hendrik Wade Bode (1905-1982) no Bell Laboratories (Simp. Bell Vem de A. Graham Bell) entre 1932 e 1942. Essa técnica permite um traçado rápido e, ainda assim, preciso e suficiente para um projeto de sistema de controle.

Apesar do fácil acesso dos computadores que os projetistas atuais têm, entender as técnicas de traçado das diagramas de Bode por razões motivais:

- permite ao engenheiro não apenas lidar com problemas simples, mas também executar verificações nas multitudens computacionais para os casos mais complicados;
- aproximações podem ser usadas para obter rapidamente a resposta em frequência e dirigir a estabilidade; bem como determinar a forma das compensações dinâmicas necessárias;

- Uma compreensão do método de trapézio é útil na interpretação da resposta em frequência de dados que foram medidas experimentalmente.

③

3) Os fatores básicos são:

→ K_0 , que é o ganho em $\omega=0$. É também igual ao ganho DC do sistema.

→ $(j\omega)^n$, que são zeros ou polos na origem é o único fator que afeta a indagação em baixas freqüências.

→ $(j\omega\theta+1)^{\pm m}$, que não zeros ou polos reais.

→ $[(j\omega/\omega_n)^2 + 2\zeta(j\omega/\omega_n) + 1]^{\pm m}$, que representam os zeros e polos complexos conjugados, que não podem ser representados pela composição de dois ou mais termos de primeira ordem.

4) Sistemas oscilatórios de segunda ordem não podem ser construídos com uma cascata de dois sistemas de primeira ordem, que não resultar sempre em sistemas superamortecidos.

Por exemplo, supõe-se dois sistemas

$$G_A(s) = \frac{K_A}{T_A s + 1} \quad \text{e} \quad G_B(s) = \frac{K_B}{T_B s + 1}$$

(4)

Onde ζ_a, ζ_b são constantes de tempo e, i.,

$$\zeta_a, \zeta_b > 0$$

Os dois sistemas em cascata resultam em:

$$\frac{K_a K_b}{\zeta_a \zeta_b s^2 + (\zeta_a + \zeta_b)s + 1} = \frac{K_a K_b / \zeta_a \zeta_b}{s^2 + \frac{(\zeta_a + \zeta_b)}{\zeta_a \zeta_b} s + \frac{1}{\zeta_a \zeta_b}}$$

$$\frac{1}{\zeta_a \zeta_b} = \omega_n^2 \quad \text{e} \quad \frac{\zeta_a + \zeta_b}{\zeta_a \zeta_b} = 2\zeta \omega_n$$

$$\therefore \zeta = \frac{1}{2} \frac{(\zeta_a + \zeta_b)}{\zeta_a \zeta_b} \sqrt{\zeta_a \zeta_b}$$

$$\therefore \zeta = \frac{1}{2} \frac{(\zeta_a + \zeta_b)}{\sqrt{\zeta_a \zeta_b}} < 1$$

$$(\zeta_a + \zeta_b)^2 < 4 \zeta_a \zeta_b$$

$$\zeta_a^2 + 2 \zeta_a \zeta_b + \zeta_b^2 - 4 \zeta_a \zeta_b < 0$$

$$(\zeta_a^2 - 2 \zeta_a \zeta_b + \zeta_b^2) < 0$$

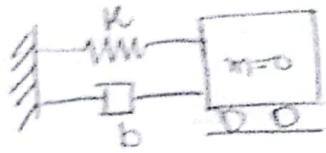
$$\boxed{(\zeta_a - \zeta_b)^2 < 0}$$

não válido se ζ_a, ζ_b são reais

Isto é, matematicamente o sistema pode oscilar, mas há uma restrição física. Por exemplo, o sistema

$$\frac{1}{s + j\omega}, \text{ com } \omega \text{ em } S=j\omega \text{ poderia representar}$$

mechanicamente um sistema massa-mola-amortecedor 5
com massa nula,



$$G(s) = \frac{1}{bs + k}$$

e, obviamente, os parâmetros b e K não podem ser
imaginários.

5)

$$a) G(s) = \frac{6}{(s+1)(s+3)}$$

1. Rescrever a função em seus fatores básicos,

$$G(j\omega) = \frac{6}{j\omega} \cdot \frac{1}{(j\omega+1)} \cdot \frac{1}{(j\omega/3+1)}$$

2. Separe a função em seus fatores básicos

$K_0 = 0,6$, constante

$(j\omega+1)^{-1}$, um pólo real em $s = -1$

$(j\omega/3+1)^{-1}$, um pólo real em $s = -3$

Vamos organizar os "pontos de quebra" da curva,

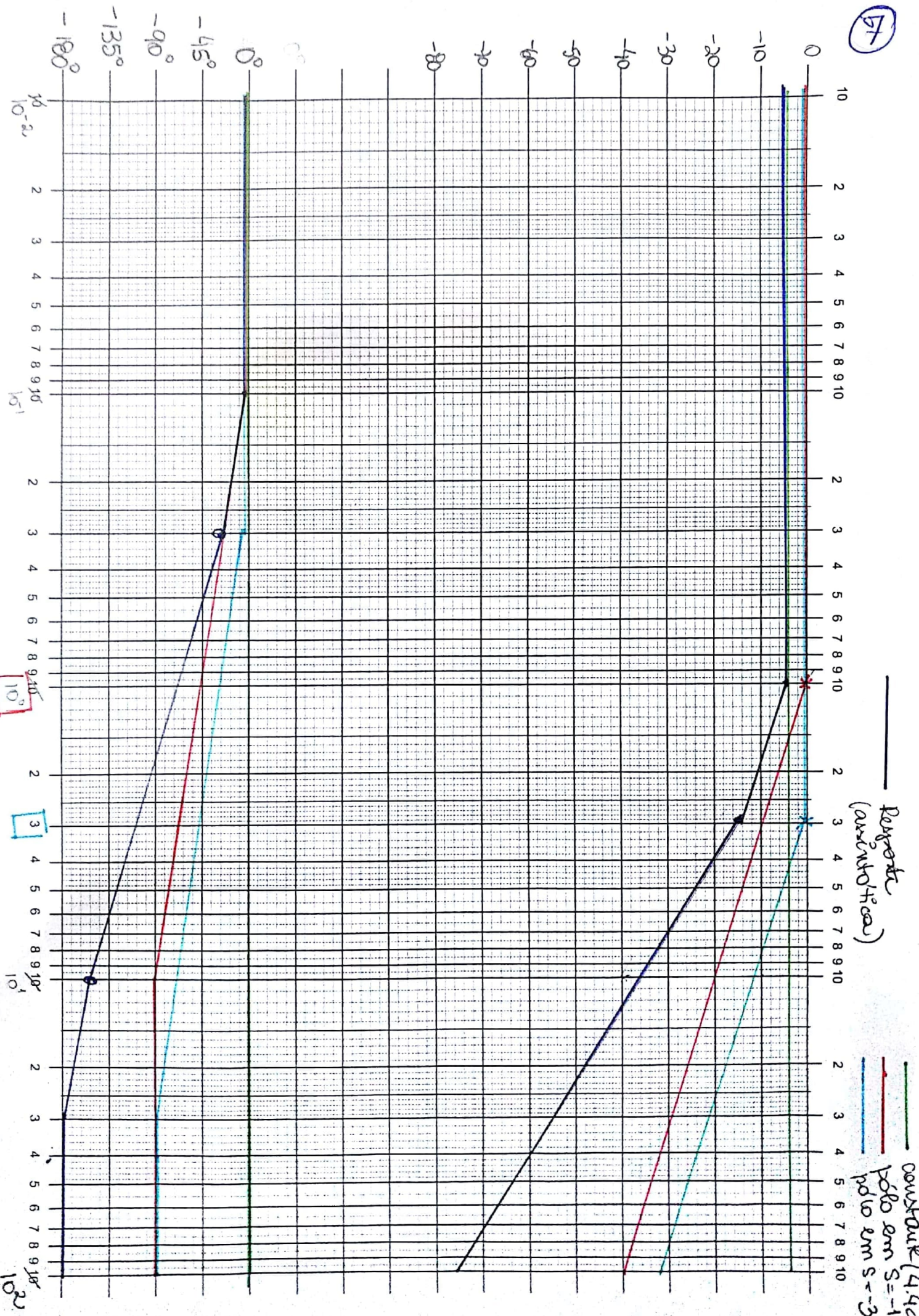
no, então,

| TERMO | FREQ. CANTO | MODULO | FASE |
|----------------------|------------------------|--|--|
| $K_0 = 0,6$ | - | $\approx 4.4 \text{ dB}$ (constante) | 0° (constante) |
| $(j\omega+1)^{-1}$ | $\omega = 1/\zeta = 1$ | até $\omega=1$: 0dB $\omega > 1$ -20dB/déc | até $\omega=0.1: 0^\circ$ a partir $\omega=10: -90^\circ$ |
| $(j\omega/3+1)^{-1}$ | $\omega = 1/\zeta = 3$ | até $\omega=3$, 0dB $\omega > 3$ -20dB/déc | até $\omega=0.3: 0^\circ$ a partir $\omega=30: -90^\circ$ |

3. Desenhar cada fator e somar. Você pode desenhar até cada frequência de corte a resposta, porém, a chance de cometer um erro é maior.

6)

(57)



(8)

b) $G(s) = 10 \frac{s+10}{s^2 + 3s}$

1. Rescrever a função na forma apropriada

(conhecida como forma de Bode ou em fatores básicos)

$$G(j\omega) = \frac{10 \times 10}{3} \frac{(j\omega/10 + 1)}{(j\omega)(j\omega/3 + 1)}$$

2. Separe a função em seus fatores básicos,

$\Rightarrow K_0 = \frac{100}{3} = 33,3$, constante

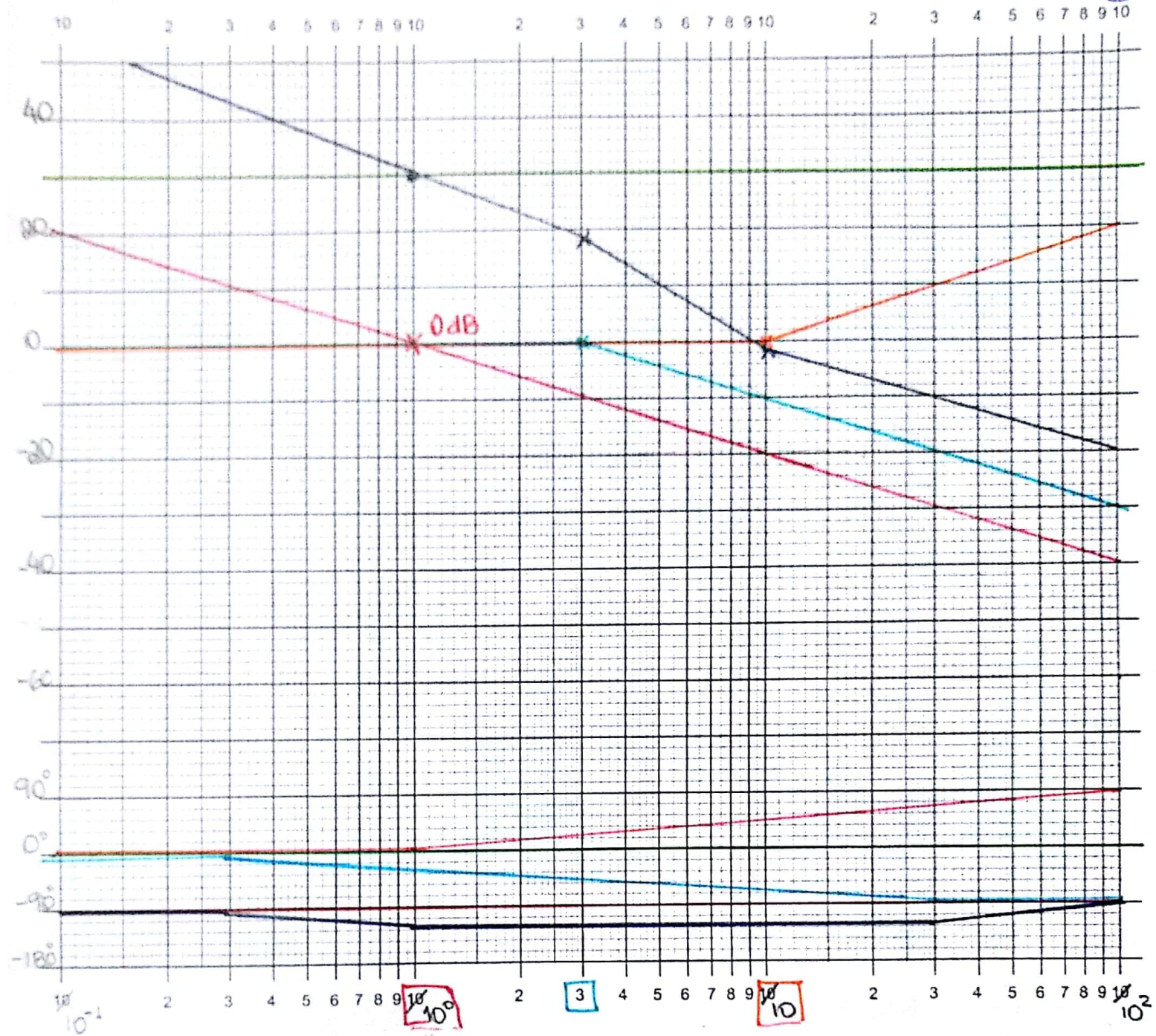
$\Rightarrow (j\omega)^{-1}$, um polo na origem $s=0$

$\Rightarrow (j\omega/3 + 1)^{-1}$, um polo real em $s = -\frac{1}{3}$

$\Rightarrow (j\omega/10 + 1)^{-1}$, um polo real em $s = -\frac{1}{10}$

Temos definir os "pontos de quebra" da curva, na ordem,

| TERMO | FREQ CANTO | MÓDULO | FASE |
|-------------------------|---|--|--|
| $K_0 = 33,3$ | — | $\approx 30 \text{dB}$ (constante) | 0° (constante) |
| $(j\omega)^{-1}$ | $\omega = 1 \rightarrow 0 \text{dB}$ (referência para resto) | -20dB/dec (constante) | -90° (constante) |
| $(j\omega/3 + 1)^{-1}$ | $\omega = 1/3 = 3$ | até $\omega = 3$, 0dB $\omega > 3$ -20dB/dec | até $\omega = 0,3 : 0^\circ$ a partir de $\omega = 30 : -90^\circ$ |
| $(j\omega/10 + 1)^{-1}$ | $\omega = 1/10 = 10$ | até $\omega = 10$, 0dB $\omega > 10$ $+20 \text{dB/dec}$ | até $\omega = 0,1 : 0^\circ$ a partir de $\omega = 100 : +90^\circ$ |



- Constante (20 dB)
- Polo nuc
origem
- Polo real
 $\text{em } -3$
- Zero real
 $\text{em } -10$
- Resposta
(assimptótica)

Um ponto importante é que a curva se é transladada para cima 30 dB desde as frequências mais baixas por causa de K_0 .

Quando se tem um zero/pólo na origem e um fator constante, pode-se unir esses dois fatores, de modo a escrever $K_0(j\omega)^{\pm 1}$ em uma só reta.

As características dessa reta são:

- declividade constante de $\pm 20 \text{dB/dec}$

- em $\omega=1$, $|K(j\omega)|_{\text{dB}} = 20 \log |K_0|$

Os rjá, desenha-se a curva de pólo/zero na origem normalmente, porém, em $\omega=1$ (referência da curva), em milés de 0 dB, tem-se o valor de módulo de K_0 , em dB.

Sempre utilize o Matlab para verificar suas respostas

c) $G(s) = \frac{4(s^2 + s + 25)}{s^2 + 500 s^2}$

$$1) G(s) = \frac{4 \times 25}{100} \frac{\left(\frac{s^2}{25} + \frac{s}{25} + 1\right)}{s^2 \left(\frac{s}{100} + 1\right)} = \frac{\frac{s^2}{25} + \frac{s}{25} + 1}{s^2 \left(\frac{s}{100} + 1\right)}$$

2) 4 fatores básicos,

constante $K_0 = 1$

pólo duplo na origem s^2

pólo real em $s = 100$

par de zeros complexos conjugados $s^2 + s + 25$

$\omega_n = 5$

$\frac{25}{\omega_n} = \frac{1}{25} \Rightarrow \xi = \frac{5}{50} = 0,1$

Amplitude do pico

$|G(j)|_{dB} \stackrel{\text{def}}{=} 20 \log 25 = 20 \log 0,2 \approx -14 \text{ dB}$

| Fator | FREQ DE CANTO | MÓDULO | FASE |
|----------------------|--|------------|--|
| $K_0 = 1$ | — | 0 dB | 0° |
| Pólo duplo na origem | $\omega = 1 \text{ rad/s}$ $ G(j) _{dB} = 0 \text{ dB}$ | -40 dB/dec | -180° |
| Pólo Real | $\omega_c = \frac{100 \text{ rad}}{s}$ | -20 dB/dec | 0° até $\omega_c/10 = 10 \text{ rad/s}$ -90° a partir $10\omega_c = 1000 \text{ rad/s}$ |
| Zeros complexos | | | 0° até $10^{-5} \omega_c = 4 \text{ rad/s}$ 180° a partir $10^5 \omega_c = 6.3 \text{ rad/s}$ |

12

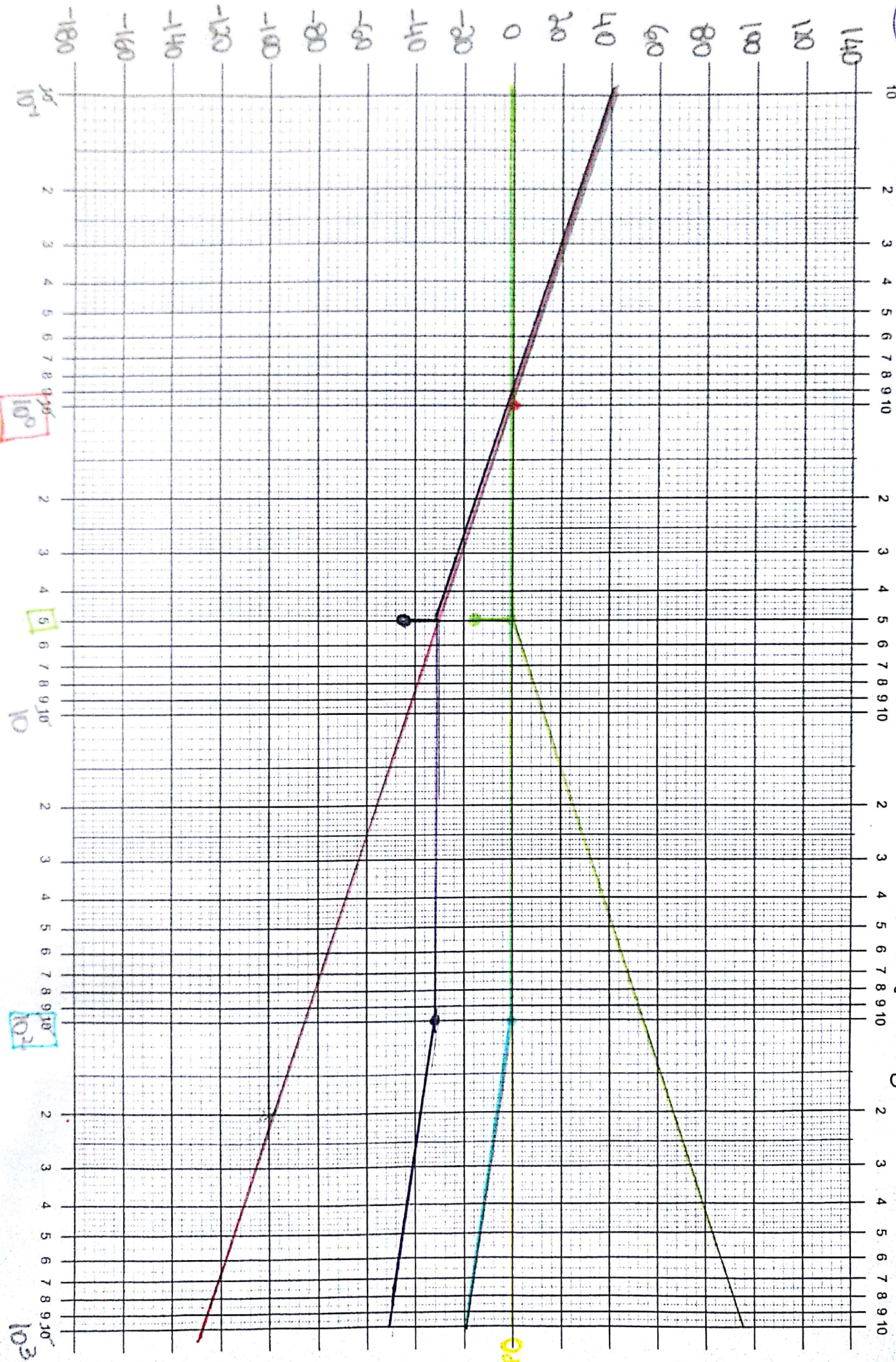
?

Zones complejas e Pico

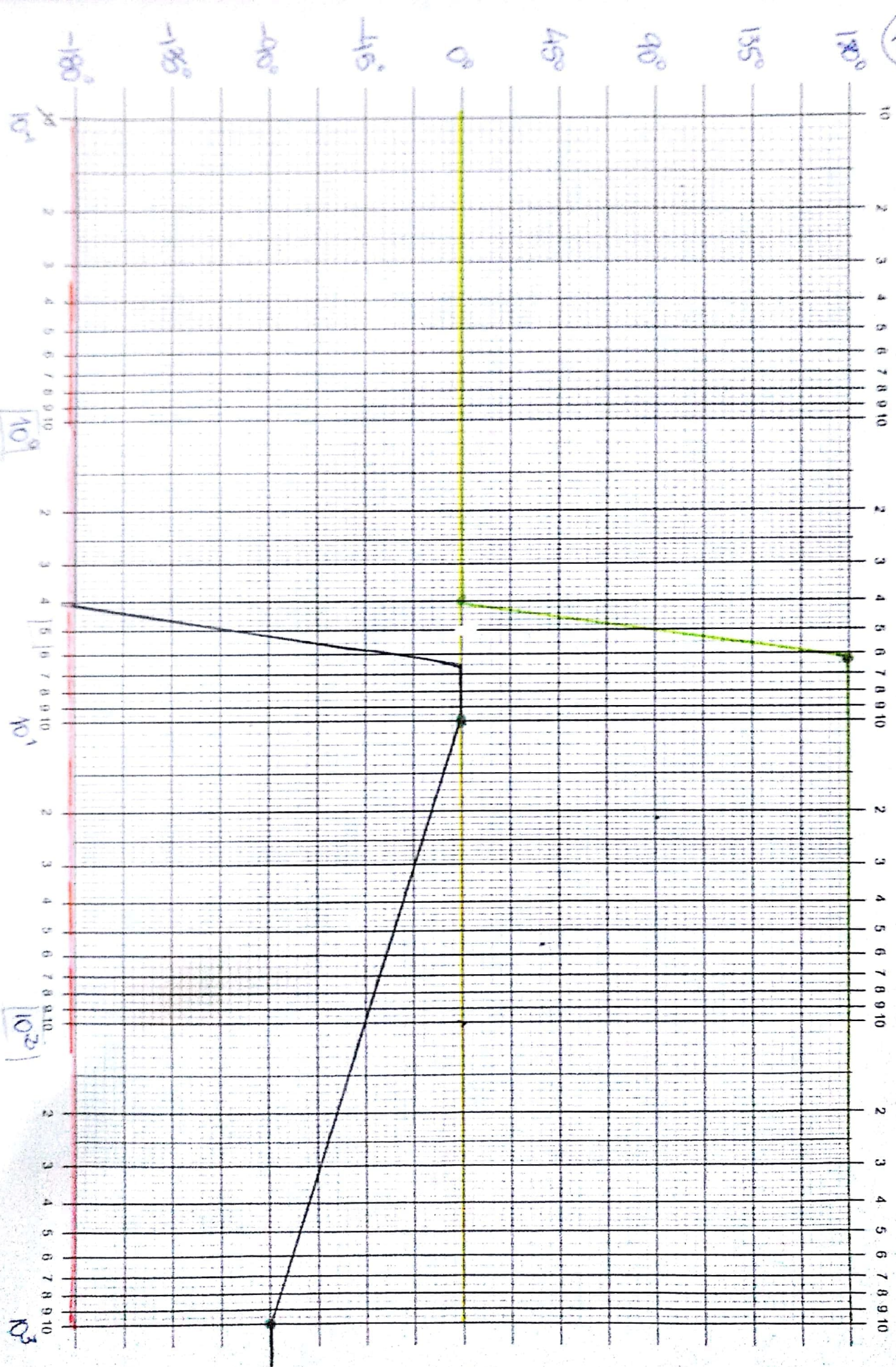
Polo real

Producido en 380°

$K_0=1$



13



(14)

$$d) G(s) = \frac{100}{s+30} e^{-0,01s}$$

1)

$$G(s) = \frac{100}{s+30} \frac{1}{\left(\frac{s}{30} + 1\right)} e^{-0,01s}$$

a) Constante $K = 10/3 = 3.33$

- Polo real em $s=30$

- Retardo de transporte de $0,01s$

| Fator | FREQ CAIXO | módulo | FASE |
|---------------------------|-------------------------------|--|---|
| Constante $K_0 = 3.33$ | - | 10.5 dB | 0° |
| Polo real | $\omega_c = 30 \text{ rad/s}$ | -0dB até ω_c ; -20dB acima de ω_c | 0° até $\frac{\omega_c}{10} = 3 \text{ rad/s}$ -90° a partir de $10\omega_c = 300 \text{ rad/s}$ |
| Retardo de Transporte | - | 0dB | $-0.01\omega \times \frac{180}{\pi}$ |

Para o polo real $3 < \omega < 300$, $\angle \approx -60^\circ$

$$\angle = -45\omega + 21.47$$

$$\omega = 50 \rightarrow \angle \approx -55^\circ$$

$$\omega = 70 \rightarrow \angle \approx -62^\circ$$

$$\omega = 100 \rightarrow \angle \approx -68^\circ$$

$$\omega = 200 \rightarrow \angle \approx -82^\circ$$

$$\omega = 300 \rightarrow \angle \approx -90^\circ$$

$$-90^\circ \rightarrow \omega \rightarrow \infty \rightarrow \angle \approx -90^\circ$$

$$\omega = 0.1 \rightarrow \angle = -0.05^\circ$$

$$\omega = 20 \rightarrow \angle \approx -10^\circ$$

$$\omega = 50 \rightarrow \angle \approx -30^\circ$$

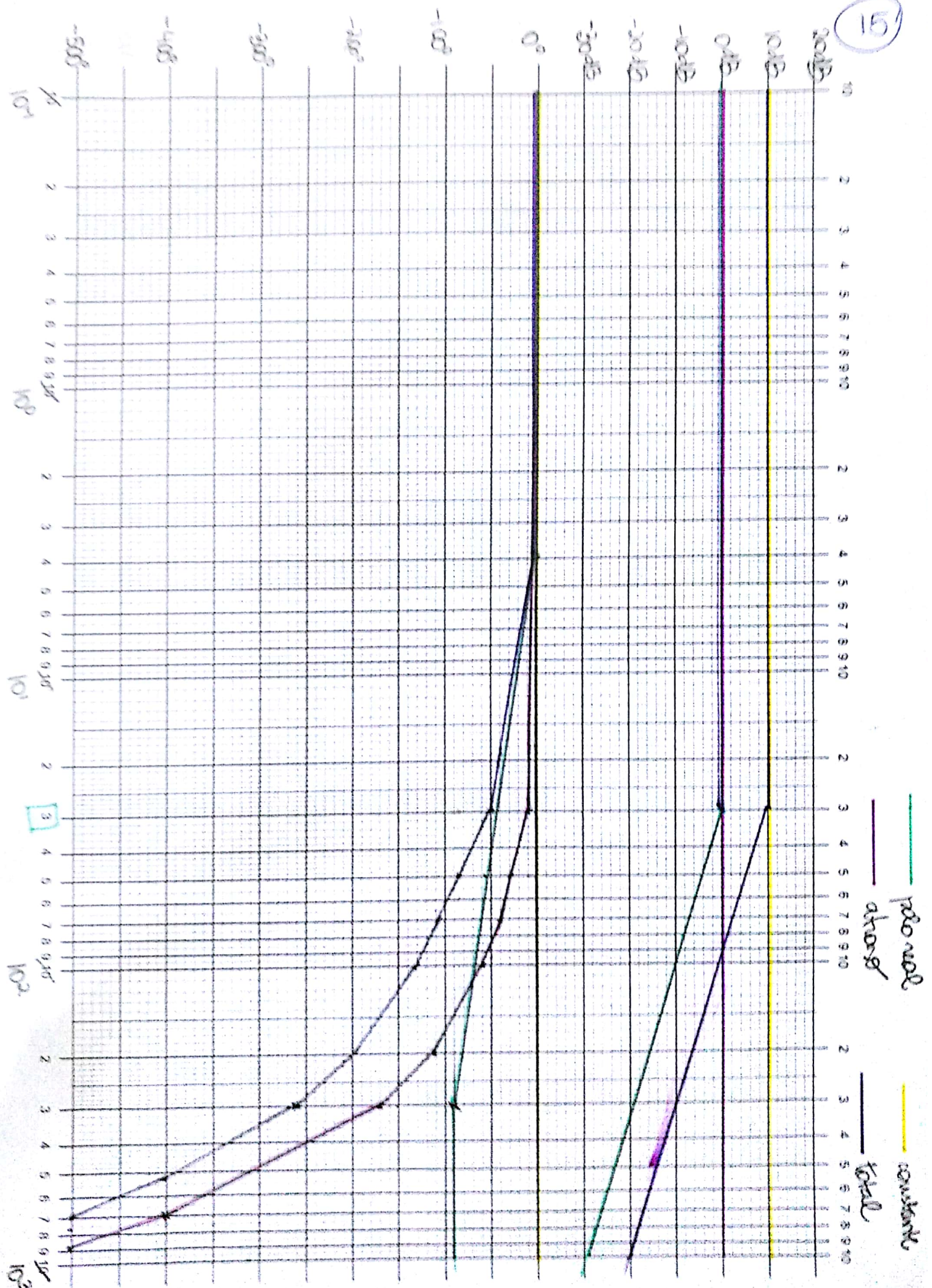
$$\omega = 70 \rightarrow \angle \approx -40^\circ$$

$$\omega = 100 \rightarrow \angle \approx -60^\circ$$

$$\omega = 200 \rightarrow \angle \approx -115^\circ$$

$$\omega = 300 \rightarrow \angle \approx -170^\circ$$

$$\omega = 700 \rightarrow \angle \approx -400^\circ$$



(16)

7)

a) Analisando a curva, tem-se:

1. Uma queda de $-20\text{dB}/\text{dec}$ e fase -90°

curva decrescente a baixas freqüências significa polo na origem, s^{-1}

2. O polo na origem leva a 0dB em $\omega=1$. Portanto, tem-se $\omega=1$ com approx 14 dB . Portanto, tem-se uma

$$\text{constante}, |K_0|_{\text{dB}} = 14 \quad K_0 = 10^{\frac{14}{20}} \approx 5$$

3. Em $\omega = 20 \text{ rad/s}$ a curva passa a ter uma queda

de -40dB . Isto é, tem-se um polo real, $(\frac{s}{2} + 1)^{-1}$

4. Em $\omega = 50 \text{ rad/s}$ a curva volta a $-20\text{dB}/\text{dec}$.

Portanto, tem-se um zero real, $(\frac{s}{10} + 1)$.

5. Em $\omega = 50 \text{ rad/s}$ a curva passa a $-40\text{dB}/\text{dec}$

de inclinação. A curva real mostra um pico de approx 10dB um pouco antes da freqüência de 50rad/s, indicando polos complexos.

Do pico tem-se que $-20 \log 2\zeta = 10$

$$2\zeta = 10^{-\frac{1}{2}}$$

$$\therefore \zeta \approx 0.32$$

A equação dos polos complexos é dada por:

$$\left(\frac{s^2}{50^2} + 0,0126s + 1 \right)^{-\frac{1}{2}}$$

6. Dessa forma, a função $G(s)$ é dada por,

$$G(s) = \frac{5 \times (s+50) \times 2 \times 50^2}{s \times 50 \times (s+2) \times (s^2 + 31,5s + 2500)} = \frac{50^2(s+50)}{s(s+2)(s^2 + 31,5s + 2500)}$$

(17)

- b) A curva de módulo da figura mostra que é de $\text{dB} = \text{approx. } 20\text{ rad/s}$ e, em seguida, uma queda de 20 dB/dec . Portanto, tem-se um polo real em $s = 2$,

$$\left(\frac{1}{2}s + 1\right)^{-1}$$

Apesar da curva de módulo indicar somente um polo real, o crescimento da curva de módulo sugere a presença de atraso.

Pela presença do polo real deve-se ter -90° em $\omega = 20$. Tem-se,

$$\begin{aligned} 1,67 - 90 \\ 0,34 - x \end{aligned}$$

approx.

Como $L = T\omega$, onde T é o atraso,

$$T\omega \approx 20 \quad \text{em } \omega = 20.$$

$$\therefore \boxed{T \approx 1s}$$

$$\therefore \boxed{G(s) = \frac{2e^{-s}}{(s+2)}}$$

c)

- Curva inicial com inclinação de +20 dB/dec, indicando zero na origem $(s)^{-1}$

- Em $\omega = 1$

$$|H(j\omega)|_{dB} = 20, \text{ portanto } K_0 = 10 \text{ é a constante.}$$

- Em $\omega = 10$ há um pico de 10 dB

$$\therefore -20 \log 2S = 10$$

$$\log 2S = -\frac{1}{2} \quad \therefore 2S = 10^{-\frac{1}{2}} \\ S = 0.1B$$

Sugindo um polo complexo,

$$\left(\frac{s^2}{10^2} + 0.0316s + 1 \right)^{-1}$$

Portanto a queda é de -40 dB/dec e a mudança da fase é $-(180^\circ + 90^\circ)$. Isso sugere a presença de um polo em $s=10$ para anular a subida do zero na origem e adicionar -90° na fase.

$$G(s) = \frac{10 \cdot s}{(s/10 + 1) \left(\frac{s^2}{10^2} + 0.0316s + 1 \right)}$$

$$G(s) = 10^4 \frac{s}{(s+10) (s^2 + 3.16s + 100)}$$

(20)

9)

Pelo gráfico, tem-se uma amplificação de $\approx 25\text{dB}$ num pico em $\omega = 3\text{ rad/s}$ de $\approx 4\text{dB}$. Depois do pico verifica-se uma queda de -40dB por década.

O gráfico é característico de polos complexos conjugados + constante.

POLO COMPLEXO,

$$G_1(s) = \frac{s^2 + 2\zeta s + 1}{\omega_n^2}$$

ω_n é, aproximadamente, a freq. de pico, $\omega_n = \frac{3\text{ rad}}{\text{s}}$

O pico tem magnitude de $\approx 20 \cdot \log 2\zeta = 4\text{dB}$

$$2\zeta = \frac{4}{20} = 0.2$$

$$\zeta = 0.31$$

$$\therefore G_1(s) = \frac{1}{\frac{1}{9}s^2 + 0.3s + 1}$$

$$\frac{2\zeta}{\omega_n} = \frac{2 \cdot 0.61}{4} = 0.3$$

A constante de -25dB equivale a,

$$20 \log |K_0| = -25$$

$$K_0 = 10^{-\frac{-25}{20}} = 0.05$$

$$\therefore G_1(s) = \frac{0.05}{\frac{1}{9}s^2 + 0.3s + 1}$$

219
Lembando das seguintes relações,

$$\omega_n^2 = \frac{k}{m} = 9$$

$$25\omega_n = \frac{b}{m} = 0,3$$

$$\frac{1}{k} = \frac{1}{0,05} = 20$$

$$\therefore k = 20$$

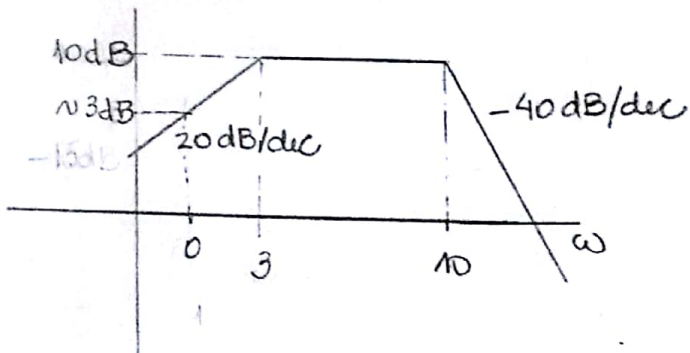
$$m = \frac{20}{9} = 2,2$$

$$b = 0,3 \cdot m = 0,3 \cdot 2,2 = 0,67$$

10)

$$G(s) = \frac{Ks}{(s+a)(s+10)^2}$$

A subida de 20dB/década refere-se ao zero na origem. A aprox. $\omega=3$ tem-se o polo referente a $(s+a)$ e em $\omega=10$ tem-se o polo duplo de $(s+10)$.



Portanto, o primeiro polo real é $\left(\frac{1}{3}s+1\right)^{-1} = \frac{3}{(s+3)}$

Os polos duplos referem-se a $(s+10)^{-2}$.

Como regra, o zero na origem tem 0dB em $\omega=1$. Porém, o gráfico mostra 3dB. Essa diferença está relacionada ao ganho. Isto é,

$$\text{dB} = 20 \log |K| \quad \therefore K_0 = 10^{\frac{(3)}{20}} \approx 1,4$$

Mas, K_0 refere-se ao valor da constante quando os termos estão escritos na forma de fatores básicos.

Portanto, a relação entre K_0 e K é:

$$K = K_0 \times 3 \times 10^2 = 300 K_0 = 420$$